

## 指定水域の水質汚濁メカニズムについて

(中央環境審議会水質部会総量規制専門委員会(第2回) (平成11年7月1日) 資料より抜粋)

表 水質指標間の相関性

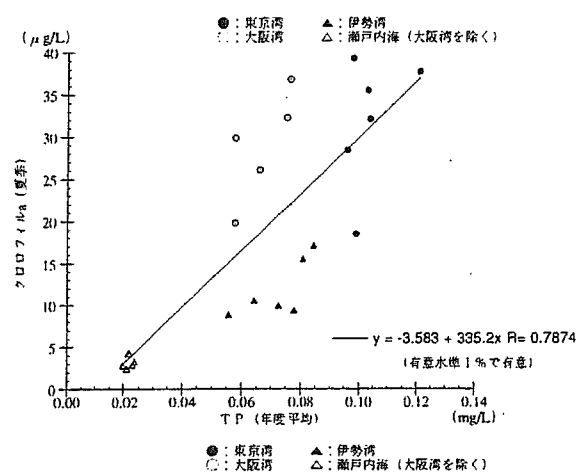
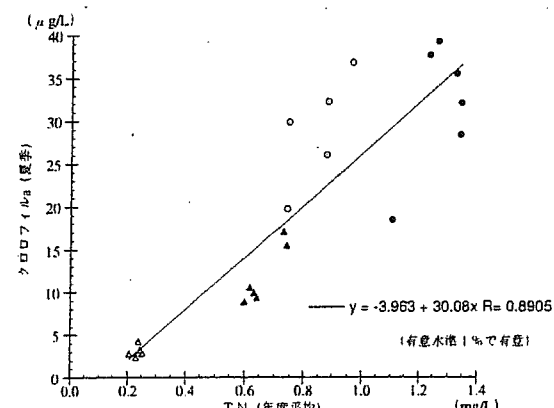
図中番号	現象	水質項目の組み合せ	回帰式	回帰式(両対数)
①	N,P濃度の増加に伴う藻類の大量増殖	クロフィル-a (夏期) TN,TP (年度平均)	Chl-a(s)=30.08·TN-3.963 Chl-a(s)=335.2·TP-3.583	r=0.891 r=0.787
		COD (年度平均)	COD=2.248·TN+1.171	r=0.925
②	N,P濃度の増加 → 内部生産によるCOD濃度の増加	TN,TP (年度平均)	COD=28.03·TP+0.9963	r=0.915
		TN,TP (年度平均)	TN=-0.201·Tr+1.647	r=0.826
③	N,P濃度の増加 → 内部生産の増大に伴う透明度の低下	透明度 (年度平均)	TP=-0.01738·Tr+0.1437	r=0.915
		TN,TP (年度平均)	TN=-0.2682·DO+2.034	r=0.754
④	N,P濃度の増加 → 内部生産の増大に伴う溶存酸素 (底層) の低下	DO (夏期,底層)	TP=-0.0244·DO+0.1829	r=0.864
			TN=25.78·DO <sup>-2.405</sup>	r=0.624
			TP=2.586·DO <sup>-2.475</sup>	r=0.766

注1) データ数: n=21

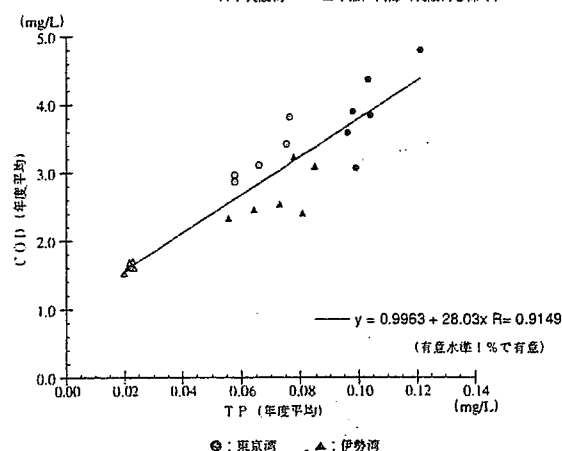
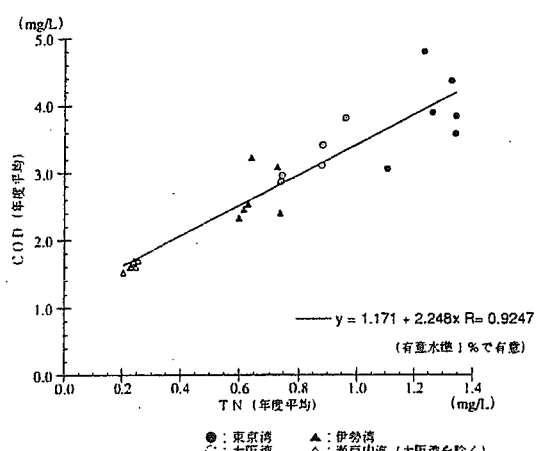
注2) 水質項目の単位: TN,TP,COD,DO (mg/l)、クロロフィル-a ( $\mu\text{g/l}$ )、透明度 (m)

## 図 水質指標間の相関性（直線回帰）

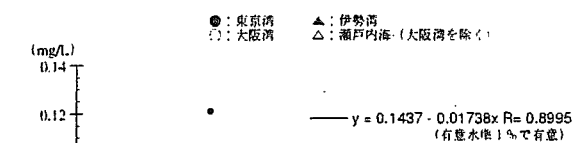
### ① 藻類との相関



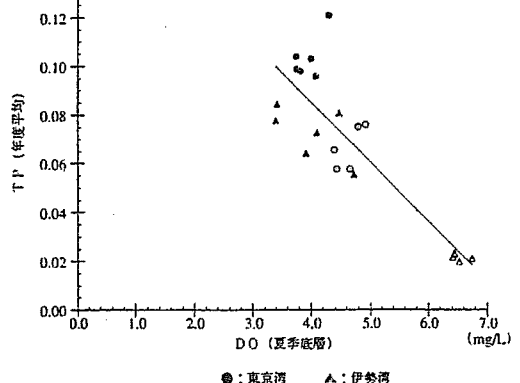
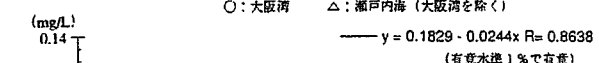
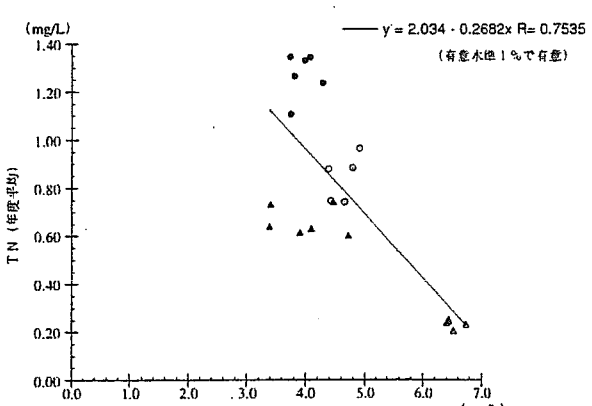
### ② COD濃度との相関



### ③ 透明度との相関



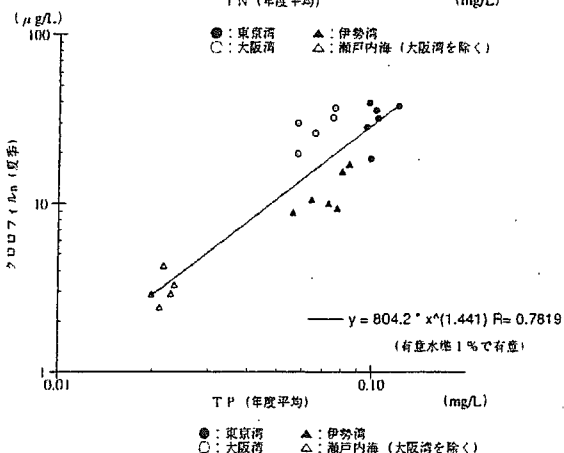
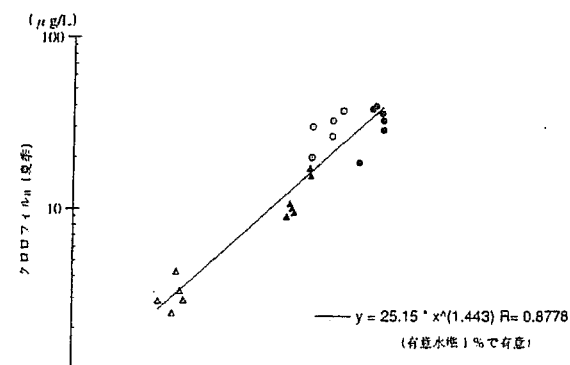
### ④ 溶存酸素 (底層) との相関



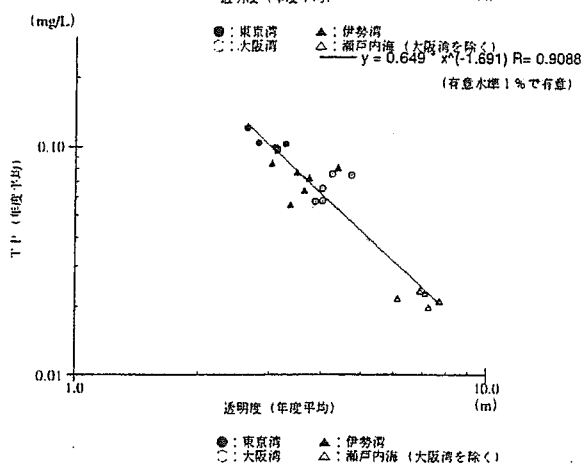
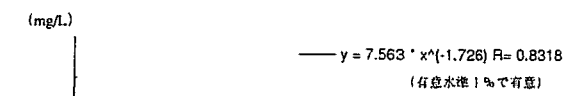
資料) 広域総合水質調査結果 (1981年～1996年度)

## 図 水質指標間の相関性（両対数回帰）

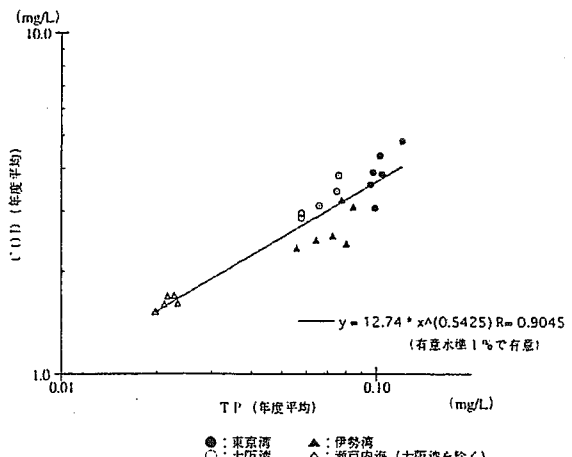
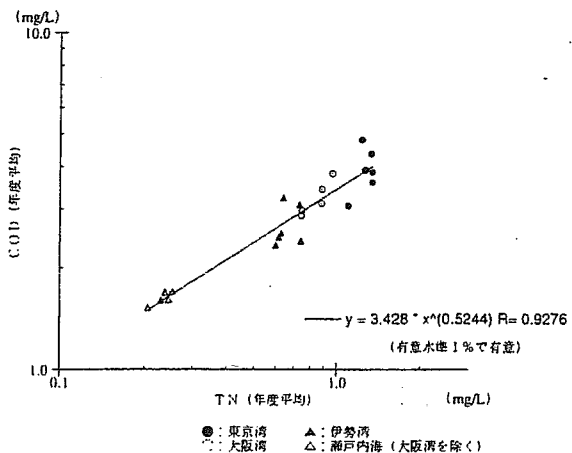
### ① 藻類との相関



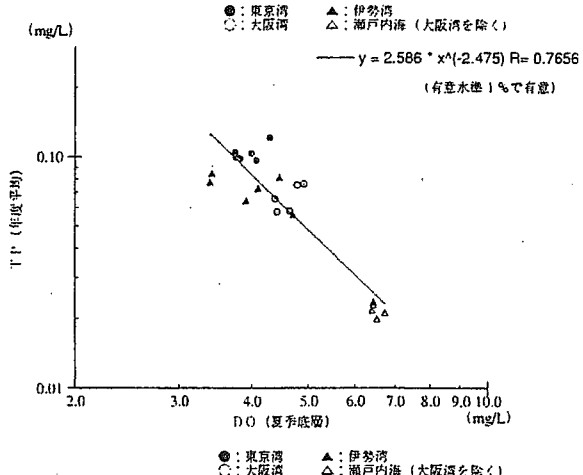
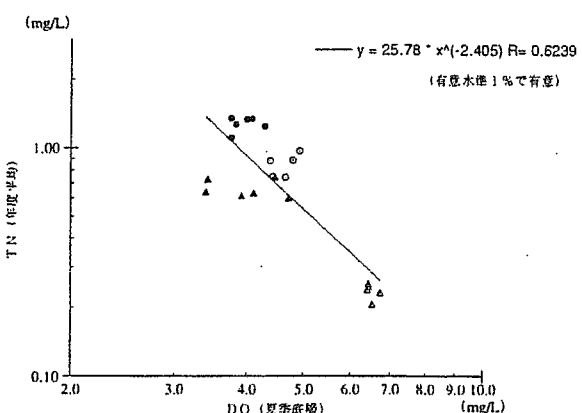
### ③ 透明度との相関



### ② C O D 濃度との相関



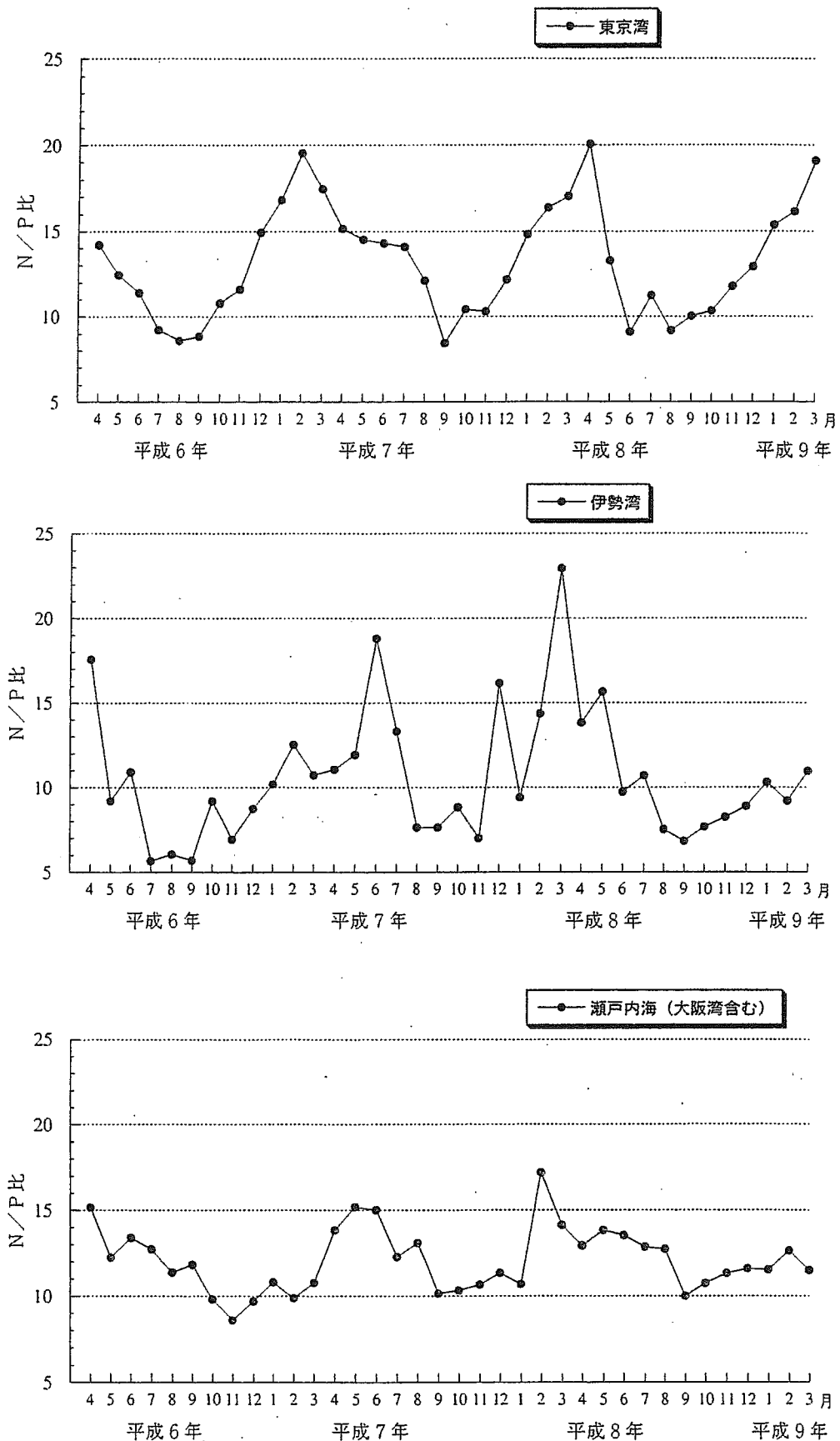
### ④ 溶存酸素（底層）との相関



資料) 広域総合水質調査結果 (1981年～1996年度)

図

## 3海域におけるN/P比の月別変化（月平均値）



資料) 公共用水域水質調査結果  
全窒素・全燐に係る環境基準点における集計結果

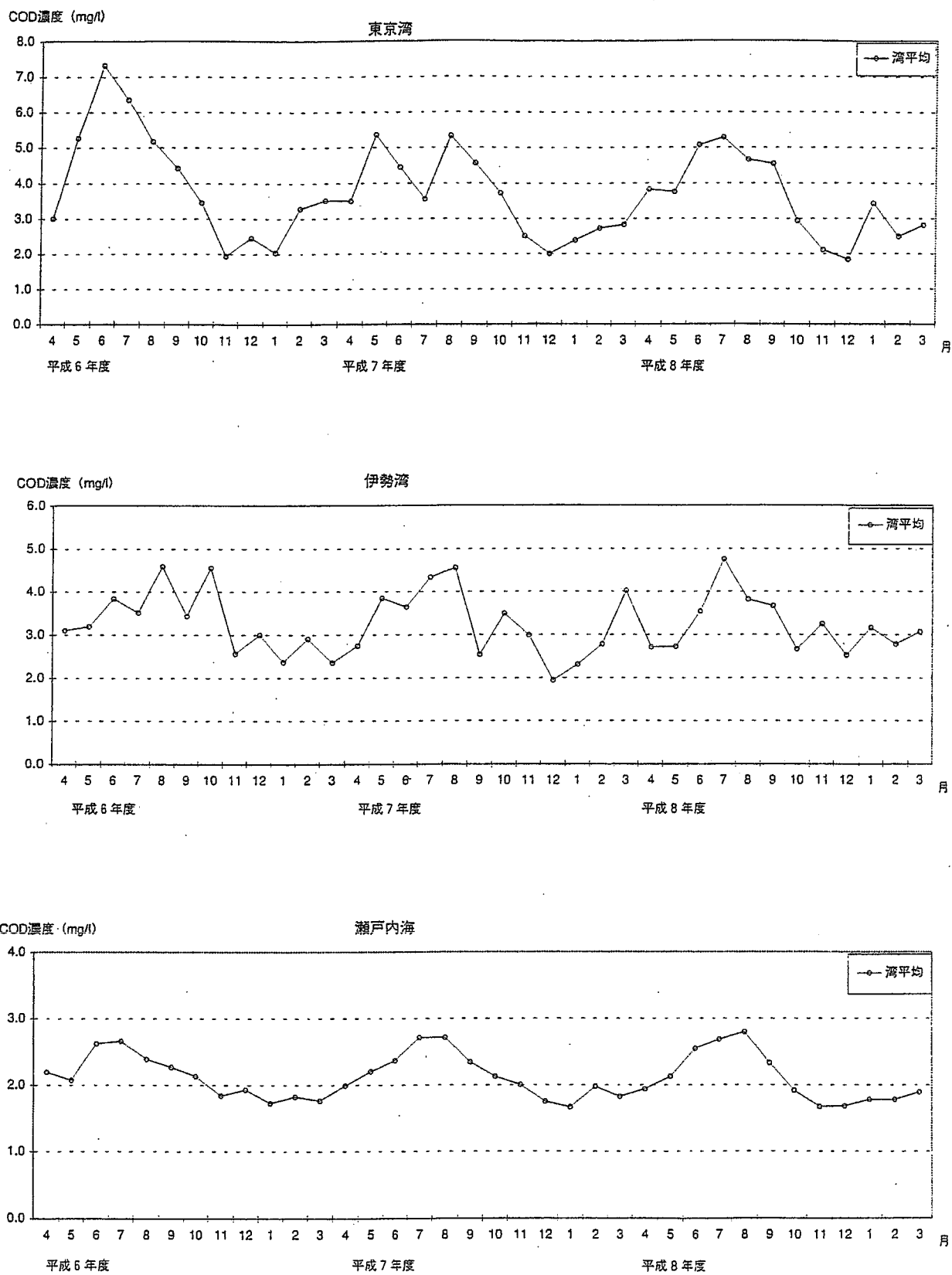
# 表 植物プランクトンの細胞内 N/P 比

(CC=Continuous culture, SC=semi-continuous culture, BC=batch culture,  
N=natural population)

Algal Species	N:P (分子比)	Source	Remarks	Reference	N:P (重量比)
<b>CYANOPHYCEAE</b>					
<i>Agmenellum quadruplicatum</i>	10.6	BC	exp. phase	Parsons et al. 1961	4.8
<b>CHLOROPHYCEAE</b>					
<i>Dunaliella salina</i>	6.1	BC	exp. phase	Parsons et al. 1961	2.8
<i>D. tertiolecta</i>	32-48	CC	P-limited	Goldman et al. 1979	1.5 - 2.2
	5-16	CC	N-limited	Goldman et al. 1979	2 - 7
	10.1-17.3	BC	stationary phase	Wynne & Rhee 1986	4.8 - 7.8
<b>BACILLARIOPHYCEAE</b>					
<i>Chaetoceros affinis</i>	7.9-43.5	BC	exp. phase	Myklestad 1977	3.8-18.8
<i>C. debilis</i>	4.6	CC	N-limited	Harrison et al. 1977	2.1
	12.0	CC	non-limited	Harrison et al. 1977	5.5
<i>Chaetoceros sp.</i>	8.3	BC	exp. phase	Parsons et al. 1961	3.8
<i>Coscinodiscus sp.</i>	15.0	BC	exp. phase	Parsons et al. 1961	8.8
<i>Ditylum brightwellii</i>	16.3-21.3	SC		Graneli & Moreira 1990	7.4-10.0
<i>Phaeodactylum tricornutum</i>	5.9	BC	exp. phase	Parsons et al. 1961	2.7
	22.4-44.6	BC	stationary phase	Wynne & Rhee 1986	10.2-20.2
<i>Skeletonema costatum</i>	7.7	BC	exp. phase	Parsons et al. 1961	3.5
	4.8	CC	N-limited	Harrison et al. 1977	2.2
	10.0	CC	non-limited	Harrison et al. 1977	4.5
	5.5-29.4	BC	exp. phase	Myklestad 1977	2.5-13.4
	5-20	CC	Kedia N/P changed	Miyata et al. 1986	2 - 8
	9.1-26.0	N		Sakshaug & Olsen 1986	4.1-11.8
<i>Thalassiosira gravida</i>	2.0	CC	N-limited	Harrison et al. 1977	0.8
	8.8	CC	non-limited	Harrison et al. 1977	4.0
<i>Thalassiosira pseudonana</i>	37.2-61.1	CC	P-limited	Perry 1976	18.9-27.8
	8.4-9.7	CC	N-limited	Perry 1976	2.9-4.4
	5-15	CC	N-limited	Goldman et al. 1979	2 - 8.8
	24.0-51.7	BC	stationary phase	Wynne & Rhee 1986	10.9-23.5
<b>DINOPHYCEAE</b>					
<i>Amphidinium carterae</i>	13.2	BC	exp. phase	Parsons et al. 1961	6.0
	22-25	BC	exp. phase	Sakshaug et al. 1983	10 - 11
	17	SC	non-limited	Sakshaug et al. 1984	7.7
	19	SC	P-limited	Sakshaug et al. 1984	8.6
<i>Ceratium tripos</i>	12	SC	non-limited	Sakshaug et al. 1984	5.5
	12	SC	P-limited	Sakshaug et al. 1984	5.5
<i>Exuvia sp.</i>	12.3	BC	exp. phase	Parsons et al. 1961	5.8
<i>Gyrodinium aureolum</i>	4.5-8.0	BC	exp. phase	Nielsen & Tonseth 1991	2 - 3.6
<i>Procentrum mininx</i>	15	SC	non-limited	Sakshaug et al. 1984	8.8
	18	SC	P-limited	Sakshaug et al. 1984	8.2
	14.8-17.4	SC		Graneli & Moreira 1990	8.7 - 7.9
<i>Scrippsiella trochoidea</i>	13	SC	non-limited	Sakshaug et al. 1984	5.9
	19	SC	P-limited	Sakshaug et al. 1984	8.6
<b>HAPTOPHYCEAE</b>					
<i>Emiliania huxleyi</i>	16-21	BC	exp. phase	Sakshaug et al. 1983	7.3 - 9.5
	16-18	N		Sakshaug & Olsen 1986	7.3 - 8.2
<i>Pylova lutheri</i>	5.8	BC	exp. phase	Parsons et al. 1961	2.6
	15-115	CC	P-limited	Goldman et al. 1976	6.8-52.3
	37.9-48.9	CC	Kedia N/P changed	Terry et al. 1985	17.2-22.2
<i>Prymesium parvum</i>	12-66	CC	Kedia N/P changed	Tett et al. 1985	5.5-30
<i>Syracosphera carterae</i>	15.6-35.9	BC	stationary phase	Wynne & Rhee 1986	7.1-18.3
	17.4	BC	exp. phase	Parsons et al. 1961	7.8
<b>PRASINOPHYCEAE</b>					
<i>Tetraselmis vaculata</i>	5.5	BC	exp. phase	Parsons et al. 1961	2.5
<b>RAPHIDOPHYCEAE</b>					
<i>Chattonella antiqua</i>	11	BC	stationary phase	Nakamura & Katane 1983	5
<i>Heterosigma akashiwo</i>	15.2	BC	stationary phase	Katane et al. 1982	6.9
	11.1-25	CC	Kedia N/P changed	Miyata et al. 1986	5.0-11.4

出典： 海洋性渦鞭毛藻の増殖に及ぼす栄養塩類構成比の影響  
(南西海区水産研究所赤潮環境部 山口峰生)

### 図 3 海域における COD 濃度平均値経月変化



出典：公共用水域水質調査結果

## 閉鎖性海域の内部生産 CODについて

### (1) $\Delta$ COD法を用いた結果

$\Delta$ COD法	東京湾		伊勢湾		瀬戸内海	
	年平均	夏季	年平均	夏季	年平均	夏季
A類型	41.0%	58.5%	41.9%	53.0%	36.9%	46.5%
B類型	43.1%	61.6%	39.7%	48.1%	38.7%	50.2%
C類型	40.8%	58.6%	40.1%	49.3%	37.4%	49.6%
全平均	41.9%	60.0%	40.6%	50.2%	37.4%	47.8%

出典：公共用水域水質測定結果、平成6年度～8年度各月データを使用

### (2) クロロフィルa法を用いた結果

クロロフィルa法	東京湾		伊勢湾		瀬戸内海	
	年平均	夏季	年平均	夏季	年平均	夏季
A類型	43.3%	55.9%	39.0%	47.8%	34.1%	42.2%
B類型	42.6%	52.9%	30.9%	35.5%	30.6%	50.6%
C類型	38.1%	52.2%	30.2%	30.1%	33.6%	46.1%
全平均	42.4%	53.6%	37.6%	45.3%	34.0%	42.7%

出典：広域総合水質調査結果、平成7年度～9年度各季節データを使用

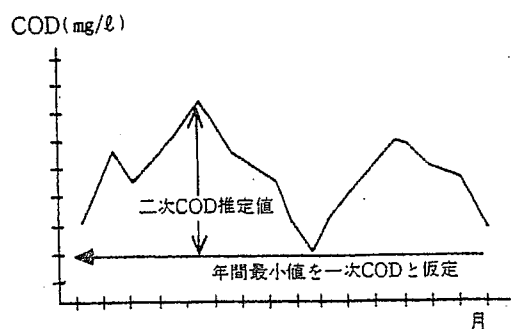
(参考)

#### 1. $\Delta$ COD法

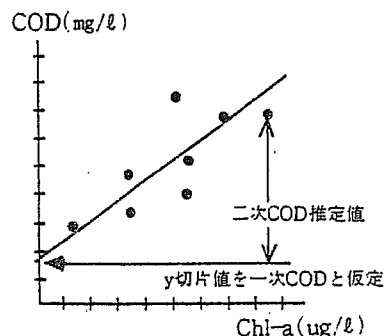
各観測地点における年間のCOD濃度の最小値を内部生産に関係しないCODとし、その値からの増加分を内部生産COD量と仮定する方法である。

#### 2. クロロフィルa法

植物プランクトン量の指標であるクロロフィルa濃度とCOD濃度の関係から海域における内部生産COD量を推定する方法である。



$\Delta$ COD法の概念図



クロロフィルa法の概念図

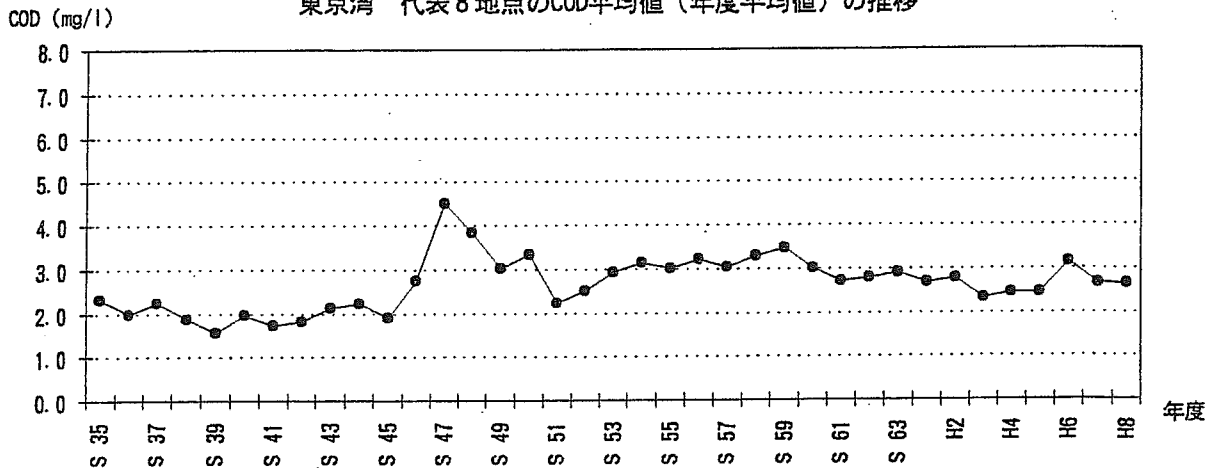
## 底泥からの溶出量

	COD		窒素		磷	
	溶出量 (t/日)	溶出量 陸域負荷+溶出量 (t/日)	溶出量 (t/日)	溶出量 陸域負荷+溶出量 (t/日)	溶出量 (t/日)	溶出量 陸域負荷+溶出量 (t/日)
東京湾	30	約1割	35	約1割	7.0	約2割
伊勢湾	42	約1割	31	約1割	4.2	約2割
瀬戸内海	---	---	61	約1割	18.0	約2割

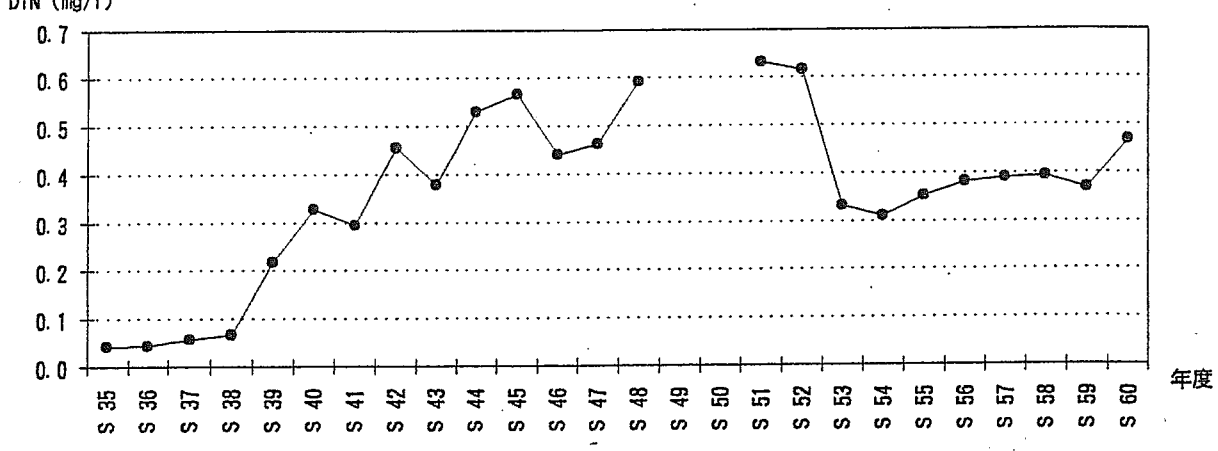
(参考文献)

- ①環境庁（1984）水質総量規制推進検討調査（溶出等調査）
- ②環境庁（1990）閉鎖性海域汚濁機構解明調査一現地調査結果一報告書
- ③環境庁（1997）海域における底泥からの栄養塩類溶出把握実態調査報告書
- ④環境庁（1998）海域における底泥からの2次汚濁物質の原因となる栄養塩類溶出把握調査報告書
- ⑤環境庁（1999）海域における底泥からの栄養塩類溶出把握調査報告書
- ⑥中国工業試験所報告（1984）瀬戸内海における海水中の汚染物質の分布と底質からの溶出－I、リンと窒素－
- ⑦愛知県（1991）三河湾栄養塩類溶出実態調査結果

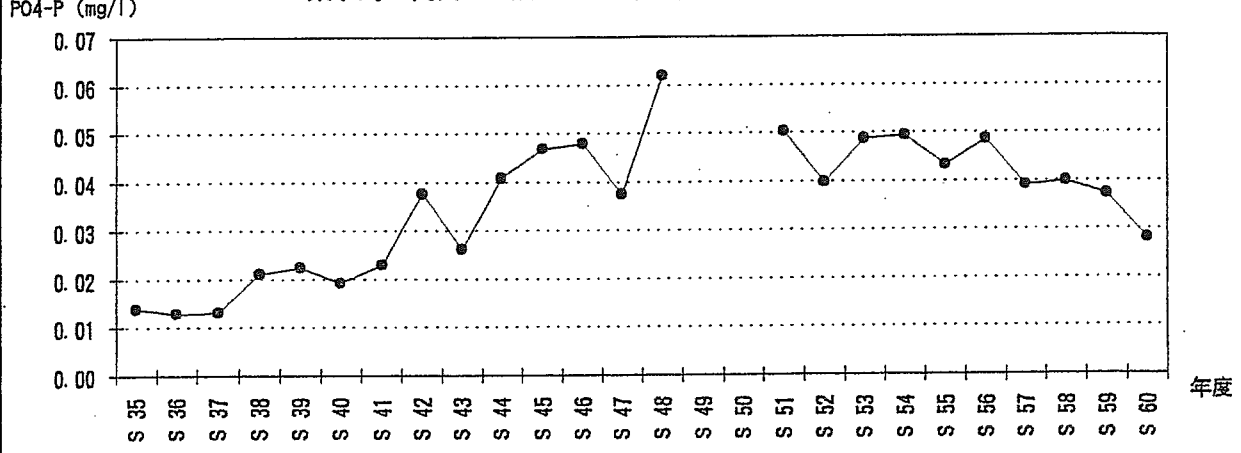
東京湾 代表8地点のCOD平均値(年度平均値)の推移



東京湾 代表8地点のDIN(無機態窒素)平均値(年度平均値)の推移



東京湾 代表8地点のPO4-P平均値(年度平均値)の推移

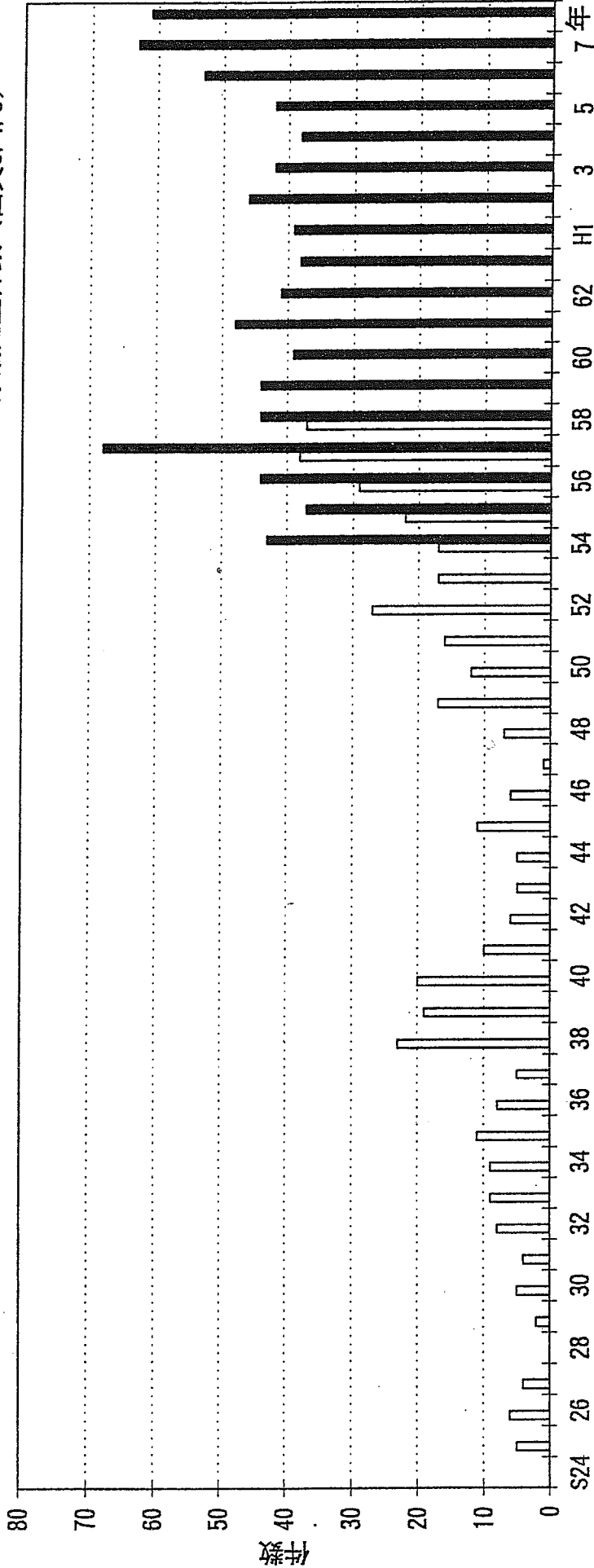


資料

:昭和48年以前 千葉県内湾水産試験場、神奈川県水産試験場調査結果  
:昭和48年以後 環境庁公共用水域水質調査結果

## 東京湾における赤潮発生件数

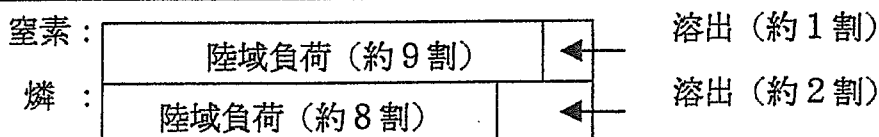
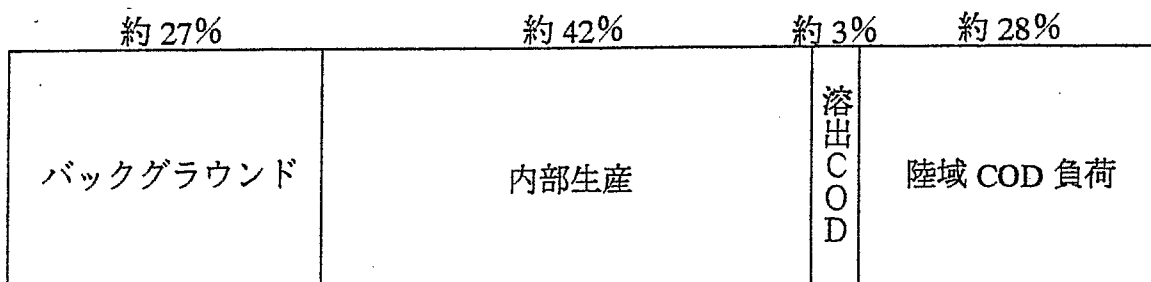
□赤潮発生件数（出典1,2）  
■赤潮発生件数（出典3,4,5）



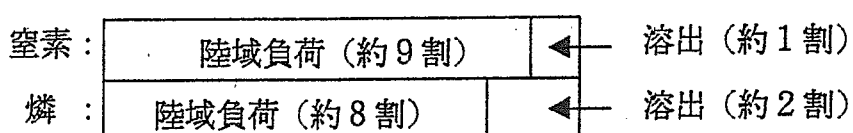
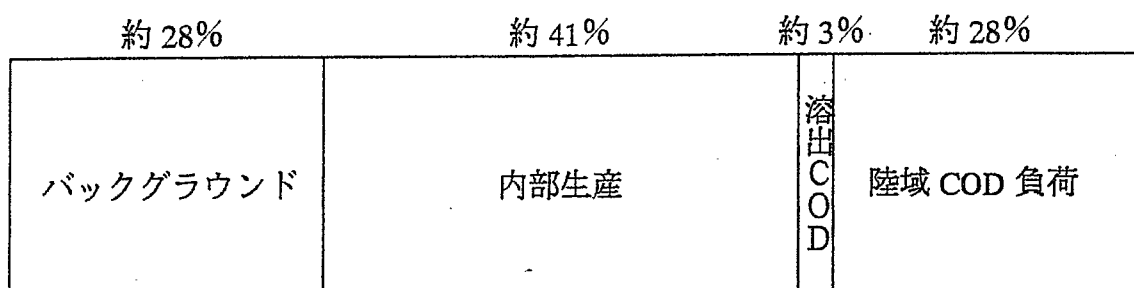
- 出典：1) 菅原兼男、佐藤正春、1966、東京湾の赤潮、千葉県内湾水産試験調査報告書、Vol. 8  
 2) 田村静男、1970、東京内湾海域の水質変動と漁業生産と潮調査報告書  
 3) 東京都環境保全局 東京都内湾赤潮調査報告書  
 4) 千葉県 水産試験場調査報告書  
 5) 神奈川県 水産試験場調査報告書

### 3 海域における COD 濃度の寄与度と窒素・燐の陸域・溶出負荷割合（試算）

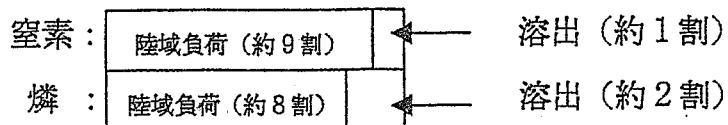
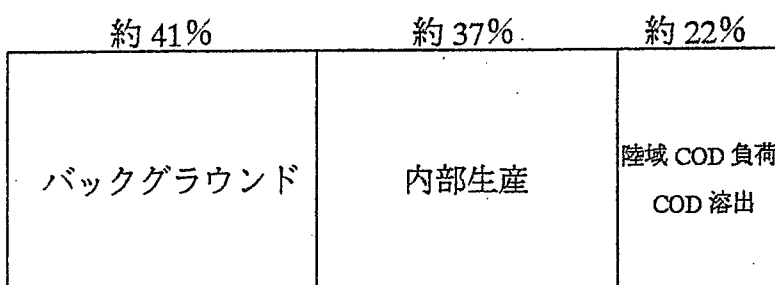
東京湾（H6～8 年度湾全体平均値 COD 3.1mg/l）



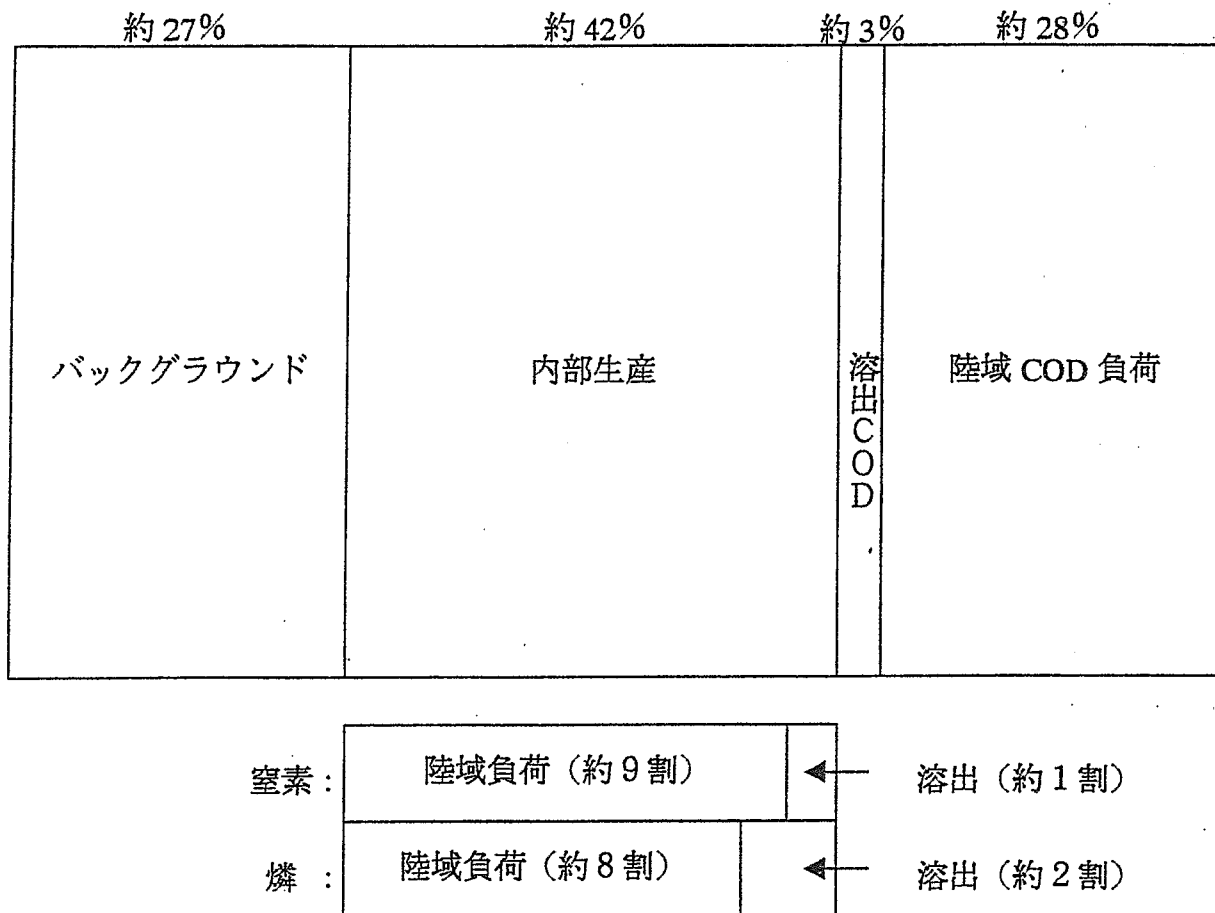
伊勢湾（H6～8 年度湾全体平均値 COD 3.0mg/l）



瀬戸内海（H6～8 年度海域全体平均値 COD 2.0mg/l）



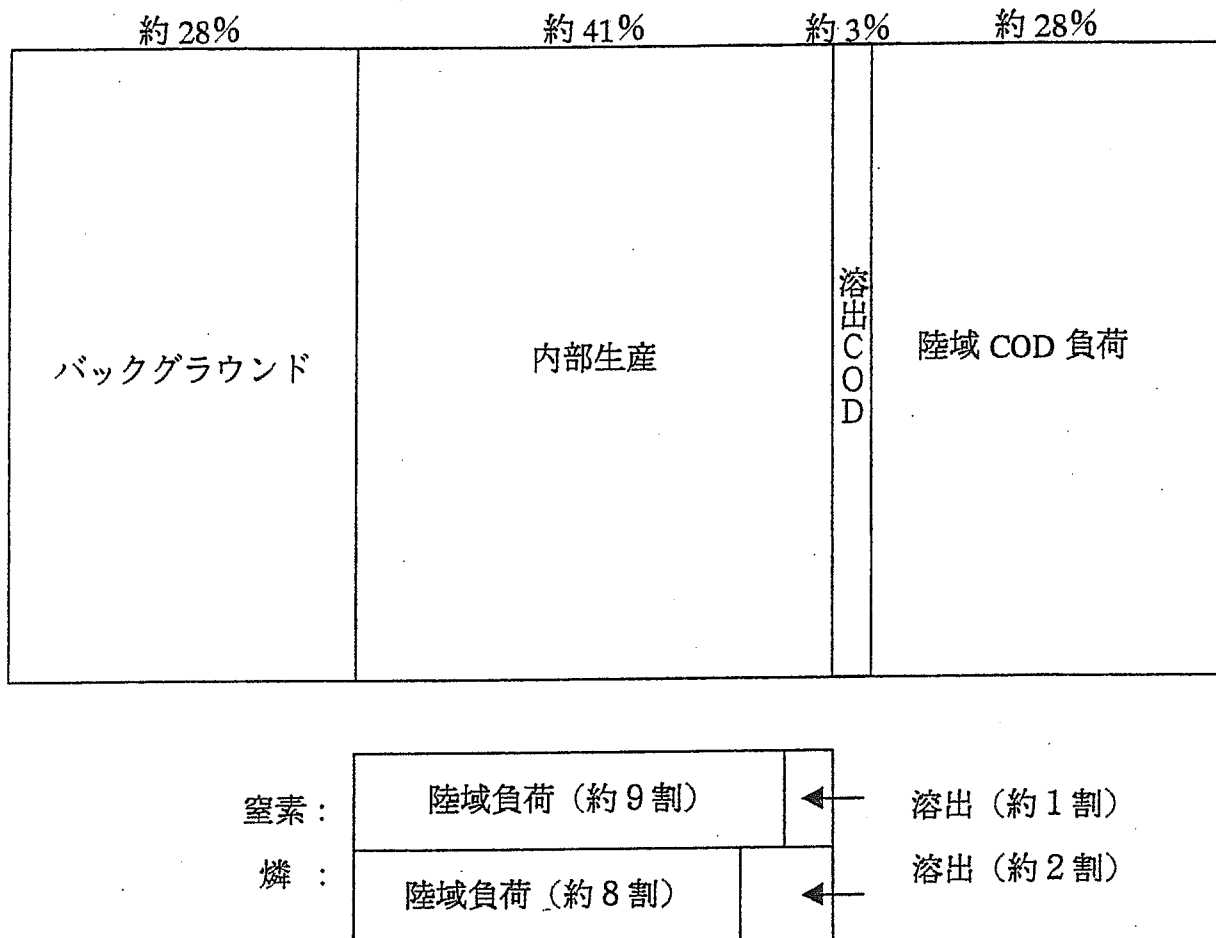
## 東京湾



### ○試算の前提条件

- 1) バックグラウンド値は、湾外水の COD 値として  $0.83\text{mg/l}$  とした。(昭和 61 年度～平成 2 年度の 5 年間の太平洋表層水の平均 COD 濃度、平成 3 年度 日本近海海洋汚染実態調査報告書(総合解析編))
- 2) 平均 COD 濃度は、公共用水域水質調査結果から平成 6～8 年度の平均 COD 濃度  $3.1\text{mg/l}$  とした。
- 3) 内部生産 COD の割合は、△COD 法による平成 6～8 年度の平均値  $41.9\%$  を用いた。
- 4) 全体濃度からバックグラウンドと内部生産分を差し引いた残りが、陸域からの負荷と底泥からの溶出分と仮定した。
- 5) 東京湾における陸域からの COD 負荷量と底泥からの COD 溶出量の比率は、以下の値を用いた。
  - 陸域 COD 負荷量 :  $286\text{t}/\text{日}$  (平成 6 年度 COD 発生負荷量)
  - COD 溶出量 :  $30\text{t}/\text{日}$  (環境庁, 1990, 閉鎖性海域汚濁機構解明調査－現地調査結果－)

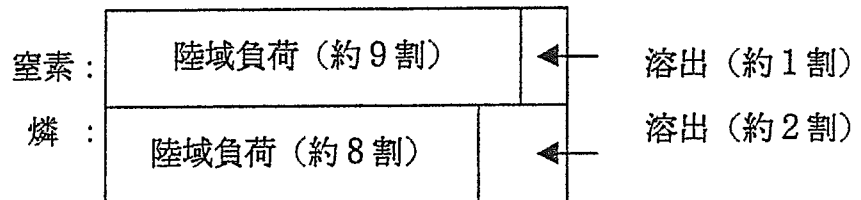
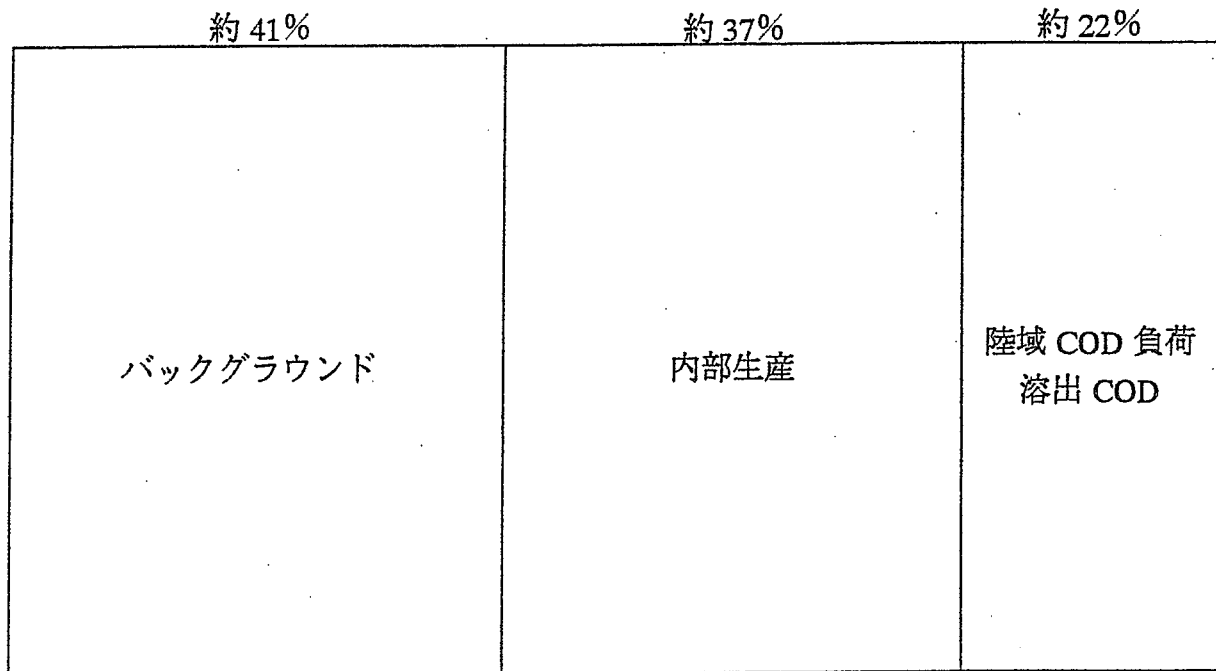
## 伊勢湾



### ○試算の前提条件

- 1) バックグラウンド値は、湾外水の COD 値として  $0.83\text{mg/l}$  とした。(昭和 61 年度～平成 2 年度の 5 年間の太平洋表層水の平均 COD 濃度、平成 3 年度 日本近海海洋汚染実態調査報告書(総合解析編))
- 2) 平均 COD 濃度は、公共用水域水質調査結果から平成 6～8 年度の平均 COD 濃度  $3.0\text{mg/l}$  とした。
- 3) 内部生産 COD の割合は、 $\Delta \text{COD}$  法による平成 6～8 年度の平均値  $40.6\%$  を用いた。
- 4) 全体濃度からバックグラウンドと内部生産分を差し引いた残りが、陸域からの負荷と底泥からの溶出分と仮定した。

## 瀬戸内海



### ○試算の前提条件

- 1) バックグラウンド値は、湾外水の COD 値として 0.83mg/l とした。(昭和 61 年度～平成 2 年度の 5 年間の太平洋表層水の平均 COD 濃度、平成 3 年度 日本近海海洋汚染実態調査報告書(総合解析編))
- 2) 平均 COD 濃度は、公共用水域水質調査結果から平成 6～8 年度の平均 COD 濃度 2.0mg/l とした。
- 3) 内部生産 COD の割合は、△COD 法による平成 6～8 年度の平均値 37.4% を用いた。
- 4) 全体濃度からバックグラウンドと内部生産分を差し引いた残りが、陸域からの負荷と底泥からの溶出分と仮定した。